河床形状に及ぼす相対水制高の影響

佐賀大学院 常盤俊輔 佐賀大学 渡辺訓甫 平川隆一 野口剛志 白川未希

1 はじめに

これまでに水制工周辺の流れおよび河床変動 等の基礎研究は多々なされてきた^{1),2)}が水深と水 制高の比である相対水制高に着目した研究は少な い. そのため本研究は相対水制高をパラメーター として取り上げ, フルード数一定という条件で相 対水制高の変化が水制周辺の河床変動や流れ場に 与える影響について実験的に検討したものである.

実験条件及び方法

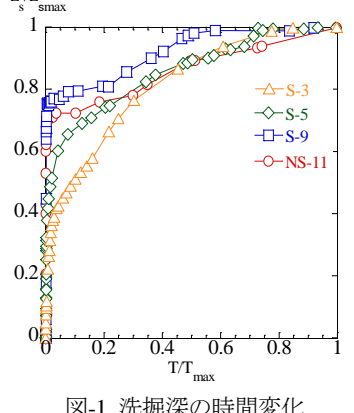
実験水路は幅 0.4m, 有効長 18m の長方形勾配可 変水路を用いた. 移動床実験では水路中間部に約 6mの長さにわたって10cmの厚さで砂を敷き均し た. 本研究では全ケースで Fr=0.2 として表-1 のよ うに水深 h と断面平均流速 Umを変化させた。河 床砂は粒径 L=0.97mm の均一砂を用いた. 水制は 水路側壁に垂直に1基設置した. 水制高, 水制長 はそれぞれ H=5cm, L=10cm とした. また全ケー ス水制先端部周辺河床が動的平衡状態に達したと ころで通水を止め河床形状を測定した. その後河 床を固定し電磁流速計を用いて主流速と横断方向 流速を測定した.

3 実験結果

図-1 は最大洗掘深の時間変化を示したものである. 経 過時間、洗掘深をそれぞれ最終経過時間、最大洗掘深で 無次元化している. 越流のケースでは相対水制高が小さ いほど初期変動が大きく、ケース S-9 では最大洗掘の約7 割,ケース S-5 では約5割, S-3 では約3割程度となって いる. ケース NS-11 では初期変動の大きさ,変化の仕方 とも越流水深の小さいケース S-9 と似た傾向となってい るが初期変動は小さい. 図-2 は河床変動後の等値線図で ある. 越流水深が大きいケース S-3 では水制先端から水 制前面全体に洗掘が見られる. また水制背後の右岸側壁, x/L=2.0 の点で4cm程度の大きな堆積がある. またx/L=2.0, y/L=1.5 の位置にも約 1.5cm 程度の堆積がある. ケース S-5 では水制先端部から水制前面にかけて洗掘が生じて いる. 堆積は水制背後全域で, x/L=1.0, y/L=0.6 で堆積高 が最大となり約 3cm となった.ケース S-9 では水制先端 部で1.5cm程度の洗掘が生じ,その下流側x/L=1.0, y/L=1.4 で 1cm 程度の堆積がある. 非越流型の NS-1 では水制先 端部に洗掘があり、x/L=1.0、y/L=1.4 に 1.5cm 程度の堆積 がある. さらにその下流側にも洗掘, 堆積が連続してい る. 各ケースの最大堆積位置を横断方向に比較すると, 相対水制高が小さいほど右岸側壁よりに堆積している傾 向があるこれは相対水制高が大きいほど水制を乗り越え

表-1 実験条件

	実 験		水深	相対水制高	Fr 数	断面平均流速
	ケース		h(cm)	H/h		U_m (cm/s)
Ī		S-3	15	0.33		22.99
	越流	S-5	10	0.5	0.2	18.73
		S-9	5.5	0.9		13.83
Ī	非越流	NS-11	4.5	1.1		13.38



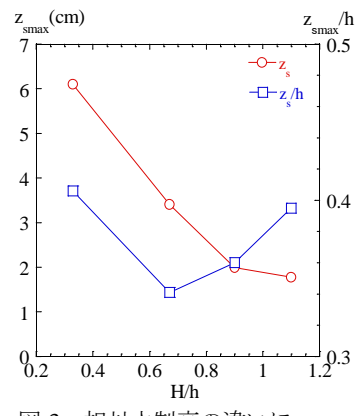


図-1 洗掘深の時間変化

相対水制高の違いに よる最大洗掘深の変化

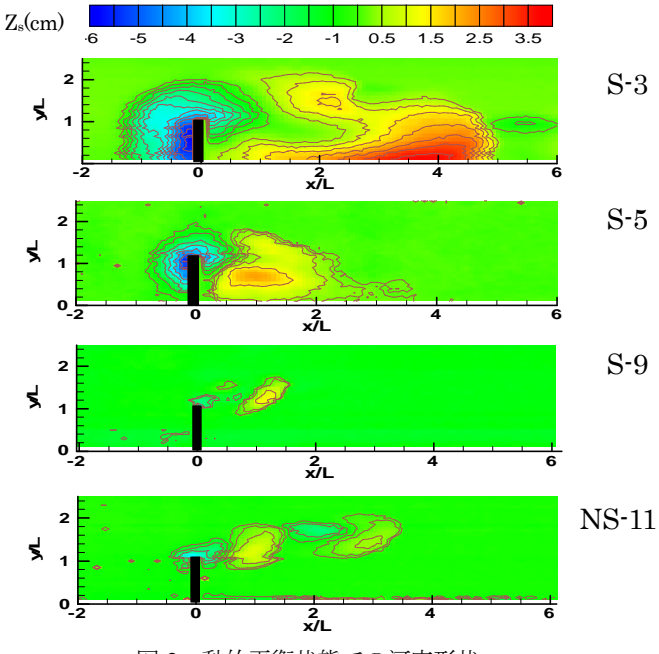


図-2 動的平衡状態での河床形状

る流れが小さく, 水制先端から水路中央に向かう流れが 支配的になるためだと考えられる. 越流水深の小さいケ ース S-9 と非越流型のケース NS-11 ではほぼ同位置に堆 積している. また流下方向で比較するとケース S-3 で水 制長の約4倍、他の3ケースは水制長の1倍となった。

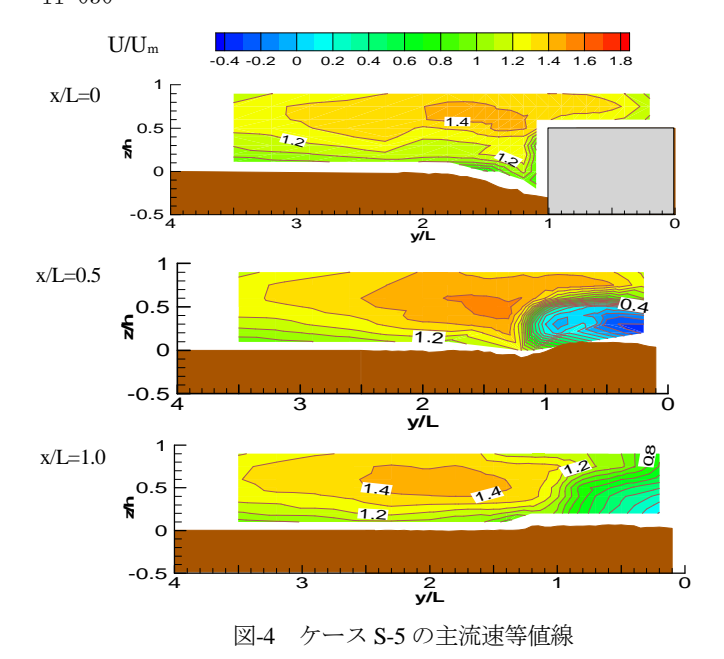


図-3 は各ケースの最大洗掘深である. 赤いラインは洗 掘深を実スケールで表している. 越流の場合に注目する と相対水制高が大きいほど最大洗掘深は小さくなってい て、それらは直線関係に近いといえる、非越流型のケー ス NS-11 ではケース S-9 と同程度の最大洗掘深となった. これは連続水制群の実験 3でも同様の傾向が見られてい る. 青のラインは各ケースの最大洗掘深を各初期水深で 無次元化したものである. 最も小さい値をとったのはケ ース S-5 で、逆に大きい値をとったのはケース S-9 とな った. また全ケースで水深の3~4割となった.

図-4, 図-5, 図-6 はそれぞれケース S-5, S-9, NS-11 における主流速の等値線図の流下方向変化である。ケー ス S-3 はケース S-5 と似た傾向が見られたためここでは 省略した. 図-4 では水制断面で y/L=1.5, z/h=0.7 周辺で 最大主流速がみられ、その大きさは断面平均流速 Umの約 1.4 倍となっている. x/L=0.5 ではほぼ同位置で最大主流 速が見られるがその大きさは x/L=0 断面で見られたもの より大きく Umの約1.5 倍となった. さらにその下流では 最大主流速は水路中央へ移動し、その大きさも Umの 1.4 倍でまた小さくなった. また x/L=0.5 断面の水制背後では 右岸側壁に近いところで逆流がみられ水制の影響を大き く受けているが x/L=2.0 断面では逆流もなくその影響が 小さくなっていることがわかる. 図-5 では最大主流速の 位置はどの断面もケース S-2 とほぼ同位置となっている. しかし x/L=0.5 断面で Umの約 1.7 倍となった最大主流速 は x/L=2.0 でも同程度であり, ケース S-5 のように減速し ていない. また x/L=0.5 断面で水制背後に逆流がみられ, それがx/L=2.0断面にもあることからケースS-5よりもケ ース S-9 のほうが水制高の影響がより下流まであると考 えられる. 図-6 では全 x/L 断面で半水深の高さに横断方 向に広がって最大主流速が見られる. その大きさは x/L=0 で U_mの 1.4 倍, x/L=0.5, x/L=2.0 で 1.6 倍となっており ケース S-5 と同じ傾向となっている. また水制背後では x/L=0.5 断面よりも x/L=2.0 断面の方が大きな逆流がある.

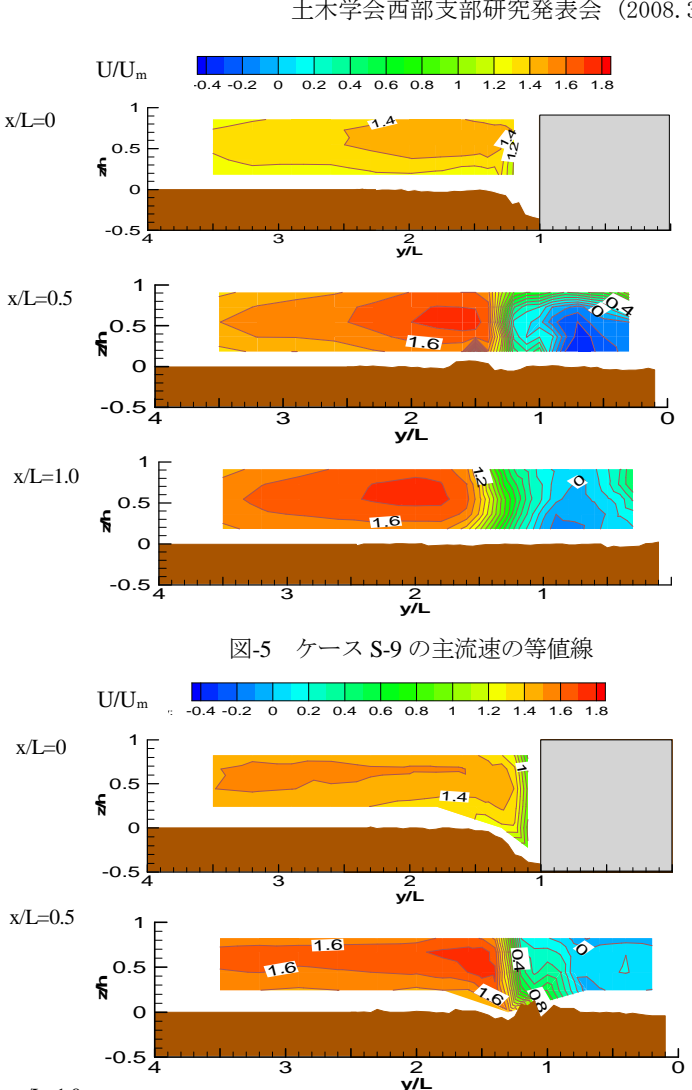


図-6 ケース NS-11 の主流速の等値線

2 **y/L**

ัก

4 まとめ

x/L=1.0

1 -

O.5

0

0.5

本研究は移動床に水制を1基設置し、相対水制高を変 化させた実験を行った. その結果相対水制高が大きくな ると洗掘深は徐々に小さくなるが、相対水制高の大きい 越流型と非越流型では河床変動は似た形状となった. ま た流速は相対水制高が大きくなるにつれて水制背後で流 速の低速域が水制境界近傍に発生した. また洗掘と同様 に、相対水制高の大きい越流型と非越流型は同様の傾向 があった.

参考文献

- 1) 福岡捷二: 洪水の水理と河道の設計方法, pp281~295, 森北出版株式会社,2000.
- 2) 富永晃宏ら:越流型水制域内の流れ構造に及ぼす相対 水制高の影響,応用力学論文集,Vol.3, pp.805~812, 2000.
- 3) 常盤俊輔ら:水制周辺の流れ構造と河床変動に及ぼす 影,第62回年次学術講演会講演概要集、pp.323~324、 2007.